

doi: 10.3969/j.issn.0490-6756.2018.05.016

# 高压下铌的强度和状态方程研究

熊 伦<sup>1, 2, 3</sup>, 李 斌<sup>1, 2</sup>, 刘 景<sup>3</sup>

(1. 四川文理学院智能制造学院, 达州 635000;

2. 达州智能制造产业技术研究院, 达州 635000; 3. 中国科学院高能物理研究所, 北京 100049)

**摘要:** 室温下, 以氦为传压介质的准静水压环境中加压到 41 GPa, 在两柱全景金刚石对顶砧中加压到 70 GPa, 研究了铌在高压下的强度和状态方程。准静水压下, X 射线衍射数据拟合得到的体弹模量和其一阶导数分别为 166(2) GPa 和 3.2(2)。铌的差应力与剪切模量的比值( $t/G$ )在超过 6 GPa 后几乎为常数, 表明由于塑性形变而发生屈服。结合高压下的剪切模量, 发现铌在 6 GPa 时由于塑性形变而发生宏观屈服时受到的差应力约为 1.26 GPa。差应力从 2 到 6 GPa 可以表示为  $t = -0.557(94) + 0.306(21)p$ , 其中  $p$  是压力, 单位是 GPa。差应力在 30 GPa 后再次增大, 表明铌开始出现强化现象, 此时对应的差应力约为 1.67 GPa。在 70 GPa 时, 铌受到的差应力最大, 且约为 3.96 GPa。

**关键词:** 铌; 强度; 状态方程; 高压; 金刚石对顶砧

**中图分类号:** O521    **文献标识码:** A    **文章编号:** 0490-6756(2018)05-1007-06

## Investigation of strength and equation of state in niobium at highpressure

XIONG Lun<sup>1, 2, 3</sup>, LI Bin<sup>1, 2</sup>, LIU Jing<sup>3</sup>

(1. School of Intelligent Manufacturing, Sichuan University of Arts and Science, Dazhou 635000, China;

2. Dazhou Industrial Technology Institute of Intelligent Manufacturing, Dazhou 635000, China;

3. Institute of High Energy Physics, Chinese Academy of Sciences, Beijing 100049, China)

**Abstract:** The strength and equation of state of niobium (Nb) have been investigated using quasi-hydrostatic X-ray diffraction with helium as pressure medium up to 41 GPa, as well as radial X-ray diffraction up to 70 GPa in a 2-fold parannular diamond anvil cell (DAC) at ambient temperature. The quasi-hydrostatic X-ray diffraction data (XRD) yield a bulk modulus and its pressure derivative as  $K_0 = 166(2)$  GPa with  $K'_0 = 3.2(2)$ . The ratio of differential stress to shear modulus ( $t/G$ ) is found to remain constant above 6 GPa, indicating that the niobium starts to experience yield with plastic deformation at this pressure. Combined with independent constraints on the high-pressure shear modulus, we found that niobium sample could support a differential stress of 1.26 GPa when it starts to yield with plastic deformation at 6 GPa under uniaxial compression. The differential stress in niobium ranges from 0.03 to 1.26 GPa with pressure increasing from 2 to 6 GPa and can be described as  $t = -0.557(94) + 0.306(21)p$ , where  $p$  is the pressure in GPa. The second increasing of  $t$  values occurs after 30 GPa, suggesting that strengthen of Nb with a strength of 1.67 GPa. A maximum differential stress, as high as 3.96 GPa can be supported by niobium at the high pressure of 70 GPa.

**Keywords:** Niobium; Strength; Equation of state; High pressure; Diamond anvil cell

收稿日期: 2017-10-14

基金项目: 国家自然科学基金(10875142, 11079040); 中国科学院基金(KJCX2-SWN03, KJCX2-SW-N20); 四川省教育厅科研项目(18ZB0506); 四川文理学院科研项目(2017KZ001Z)

作者简介: 熊伦(1985—), 男, 博士, 讲师, 主要研究方向为极端条件下物性研究. E-mail: 1094129778@qq.com

## 1 引言

压力可以使物质的原子间距减小、电子壳层状态和晶胞结构发生改变, 从而使它们的物理、化学等性质发生改变<sup>[1]</sup>。高压为物性研究提供了新的方法, 拓展了物质的研究领域。高压下物质状态的研究是凝聚态物理学中的一个重要分支, 并渗透到其它相关的研究领域中。铌是具有体心立方结构的过渡金属, 它的状态方程是实验<sup>[2-9]</sup>和理论研究<sup>[10]</sup>的重点。早期的实验分别通过超声波测量<sup>[2,3]</sup>, 冲击波测量<sup>[4]</sup>, 金刚石对顶砧<sup>[5-9]</sup>研究了铌的状态方程。此外, Singh 和 Kenichi<sup>[8]</sup>在金刚石对顶砧中以氦为传压介质研究了铌到 145 GPa 的强度, 发现在 34 GPa 以下, 差应力从 0.2 变化到 3 GPa。随后, Singh 和 Liermann<sup>[11]</sup>用 X 射线径向衍射实验研究了铌到 38 GPa 的强度, 发现在 34 GPa 时, 铌有最大的差应力, 且为 0.86 GPa。以上研究的压力上限只有 38 GPa。

本文用 X 射线径向衍射实验研究了铌到 70 GPa 的高压强度。此外, 在改进型的 Mao-Bell 金刚石对顶砧中以氦为传压介质研究了铌到 41 GPa 的状态方程。

## 2 实验

铌样品从阿法埃莎公司(Alfa Aesar)购买, 粒度大小为 325 目, 纯度为 99.8%。选用台面大小为 300 μm 的两柱全景金刚石对顶砧进行 X 射线径向衍射实验。铍封垫被预压到 20 GPa, 使其厚度为 25 μm。在铍封垫中心处打一个直径为 60 μm 的样品孔。直径为 40~50 μm 的铌片被装填到样品孔中, 并在样品上放置一颗直径约为 10 μm 的红宝石作为压标<sup>[12]</sup>。选择红宝石作为压标的原因是, 红宝石没有衍射峰而且压力已被很好地标定。为了最大限度地产生差应力, 实验中不加传压介质。此外, 为了减小铍封垫衍射峰的影响, 金刚石对顶砧被转过 28°<sup>[13]</sup>。

对于角度色散 X 射线轴向衍射实验, 用直径为 300 μm 的改进型 Mao-Bell 金刚石对顶砧进行实验。T301 封垫被预压到约 35 μm 厚, 然后在封垫中心处打一个直径为 160 μm 的样品孔。将直径为 60 μm 的铌片装填到样品孔中, 并在中心处放置一颗直径约为 10 μm 的红宝石片作为压标<sup>[12]</sup>。先用气体加压装置加到 30 000 psi 高压(等价于 0.165 GPa), 取出后再用机械装置对 DAC 进行手

动加压到 3 GPa。

原位高压 X 射线径向衍射实验和 X 射线轴向衍射实验在北京同步辐射装置 4W2 实验站上完成, 实验的单色光波长是 0.6199 Å。通过 K-B 聚焦镜聚焦后的单色光光斑的半高全宽是 30(水平) μm × 8(垂直) μm。衍射图案由 Mar345 成像板接收, 并用 Fit2D 软件<sup>[14]</sup>进行积分转换。径向衍射实验的每个压力点, 采谱前先放置 30 min 使样品中的应力充分释放。随后采谱, 采谱时间为 20 min。轴向衍射技术的曝光时间为 6 min。

## 3 理论

径向衍射实验数据用 Singh 等人提出的晶格应变理论<sup>[15,16]</sup>进行分析。根据晶格应变理论<sup>[15,16]</sup>, 测得的  $d_m(hkl)$  是  $\psi$  角(金刚石对顶砧加压方向和  $hkl$  衍射面法向的夹角)的函数, 可以表示为:

$$d_m(hkl) = d_p(hkl)[1 + (1 - 3 \cos^2 \psi)Q(hkl)] \quad (1)$$

其中  $d_m(hkl)$  是测得的晶面间距  $d$  值,  $d_p(hkl)$  是静水压环境下的晶面间距  $d$  值。 $Q(hkl)$  是晶格应变的取向, 可以表示为:

$$Q(hkl) = (t/3)\{\alpha [2G_R^X(hkl)]^{-1} + (1 - \alpha)(2G_V)^{-1}\} \quad (2)$$

$G$  是剪切模量, 下标 R 和 V 分别表示 Reuss 近似(压力连续)和 Voigt 近似(应变连续)。上标 X 表示由于不同的衍射面  $hkl$  引起的平均效应。 $\alpha$  确定了 Reuss 近似和 Voigt 近似的比重。对于立方晶系有:

$$[2G_R^X(hkl)]^{-1} = [S_{11} - S_{12} - 3S\Gamma(hkl)] \quad (3)$$

此处有:

$$\begin{aligned} \Gamma(hkl) &= (h^2 k^2 + k^2 l^2 + l^2 h^2)/(h^2 + k^2 + l^2)^2 \\ S &= S_{11} - S_{12} - S_{44}/2 \end{aligned} \quad (4) \quad (5)$$

和

$$\begin{aligned} (2G_V)^{-1} &= 5S_{44}(S_{11} - S_{12})/[6(S_{11} - S_{12}) + 2S_{44}] \\ S_{ij} &\text{ 表示单晶弹性柔度。在绝大多数高压实验中,} \\ &\text{令 } a=1. \text{ 以下关系式可以推出:} \end{aligned} \quad (6)$$

$$t = 6G < Q(hkl) > f(x) \quad (7)$$

$$f(x) = A/B \quad (8)$$

$$A = \{(2x + 3)/10\} + 5x/2(3x + 2) \quad (9)$$

$$B = \{\alpha[x - 3(x - 1)\langle\Gamma(hkl)\rangle]\} +$$

$$5x(1-\alpha)/(3x+2) \quad (10)$$

此处  $x=2(S_{11}-S_{12})/S_{44}$ .  $\langle Q(hkl) \rangle$  表示所有  $Q(hkl)$  的平均值.  $G$  是多晶样品的剪切模量. 在实际情况中,  $f(x) \geq 1$ . 公式(7)可以表示为:

$$t=6G\langle Q(hkl) \rangle \quad (11)$$

$G$  可以由超声波测量和理论计算得到.

在 X 射线径向衍射实验中, 为了减小铍封垫的影响, 将金刚石对顶砧转过一定角度  $\beta$ . 此时的  $\psi$  可以表示为:

$$\cos\psi_{hkl} = \sin\beta\cos\delta\cos\theta_{hkl} + \cos\beta\sin\theta_{hkl} \quad (12)$$

其中  $\theta$  是衍射角,  $\delta$  是成像板中的几何角度,  $\beta$  等于  $28^\circ$ (径向衍射实验将 DAC 转过  $28^\circ$ ).

## 4 结果与讨论

### 4.1 数据处理

对于径向衍射实验, 采集得到的衍射谱用 Fit2D 软件<sup>[14]</sup> 处理, 再用 Multifit4.2 软件进行进一步分析. 选择衍射环从  $90^\circ$  到  $180^\circ$ , 每  $5^\circ$  进行积分. 铌的径向衍射实验研究到  $70$  GPa, 压力由红宝石压标<sup>[12]</sup> 给出. 图 1 是不同压力下  $\psi_{hkl}=54.7^\circ$  时的衍射谱积分图. 从图中可以看出, 铌的五个峰在整个实验压力范围内  $(110)$ 、 $(200)$ 、 $(211)$ 、 $(220)$  和  $(310)$  被观察到. 衍射峰位由 Multifit 4.2 软件用 Pseudo-Voigt 函数拟合得到.

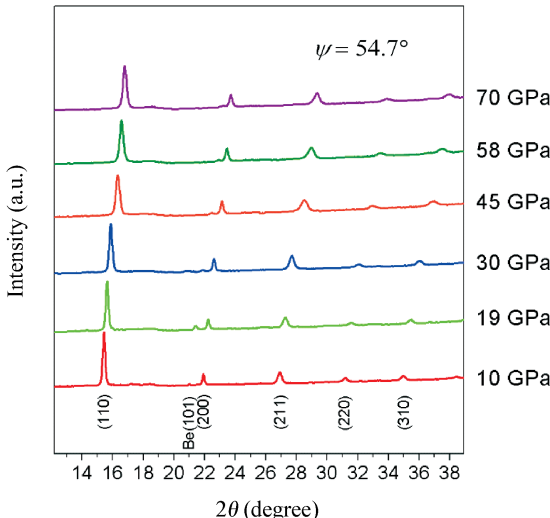


图 1  $\psi=54.7^\circ$  时不同压力下铌的衍射谱积分图

Fig. 1 Selected diffraction patterns of niobium under nonhydrostatic compression taken at  $\psi=54.7^\circ$

对于准静水压实验, 衍射谱积分图见图 2. 在整个压力范围内, 铌的三个峰  $(110)$ 、 $(200)$  和

$(211)$  被观察到. 实验的最高压力是  $41$  GPa, 铌一直保持体心立方结构.

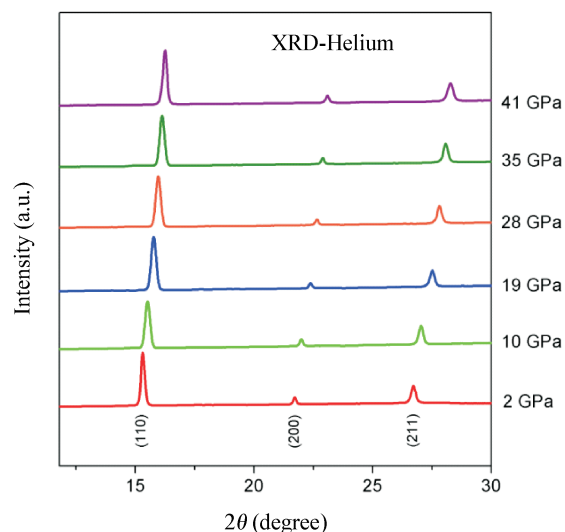


图 2 轴向衍射准静水压实验的衍射谱积分图

Fig. 2 Quasi-hydrostatic X-ray diffraction patterns of niobium

### 4.2 准静水压状态方程

不同压力下, 对  $d_m(hkl)$  随  $1-3\cos^2\psi$  的变化关系进行线性拟合, 拟合图见图 3. 可以看出, 拟合结果符合晶格应变理论<sup>[15,16]</sup> 提出的线性关系.

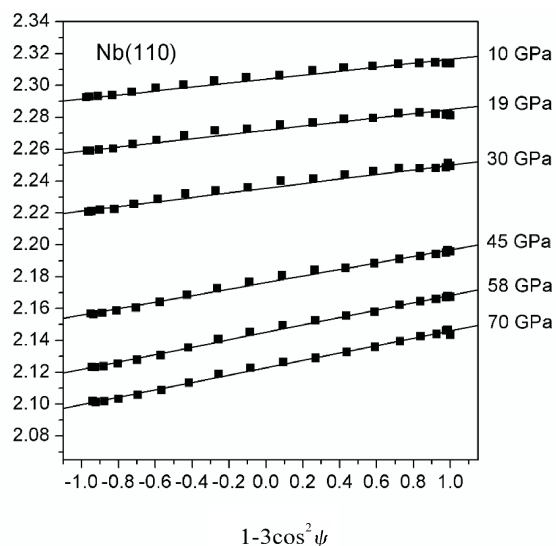


图 3  $d_m(110)$  随  $1-3\cos^2\psi$  变化的线性拟合图

Fig. 3 Dependence of observed  $d_m(110)$  on  $1-3\cos^2\psi$

对于角度色散 X 射线径向衍射实验, 在  $\psi=54.7^\circ$  时拟合得到的  $d_p(110)$ 、 $d_p(200)$ 、 $d_p(211)$ 、 $d_p(220)$  和  $d_p(310)$  用于推导静水压下的晶胞参数和体积. 对于角度色散 X 射线衍射实验, 晶胞参数和体积由 GSAS 软件<sup>[17]</sup> 的 Le-Bail 精修得到.

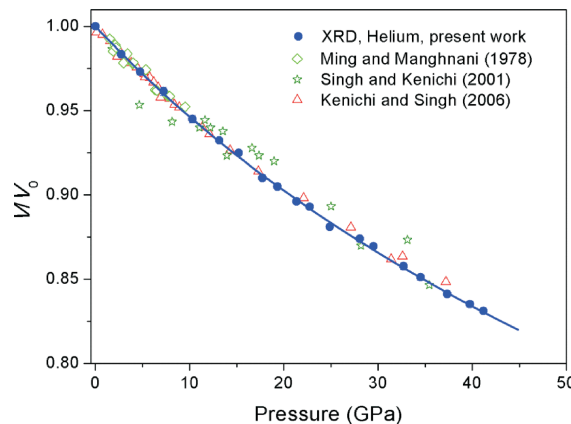
图 4  $p$ - $V$  压缩曲线

Fig. 4 Compression curves of niobium

压力-体积曲线见图 4。作为比较, 早期的 X 射线衍射实验结果<sup>[5,8,9]</sup>包含在图 4 中。

体弹模量和其一阶导数由三阶 Brich-Murnaghan 方程拟合, 其中三阶 Brich-Murnaghan 方

程表示为<sup>[18]</sup>:

$$p = 1.5K_0 \left[ \left(\frac{V_0}{V}\right)^{\frac{7}{3}} - \left(\frac{V_0}{V}\right)^{\frac{5}{3}} \right] \left\{ 1 + \frac{3}{4}(K'_0 - 4) \left[ \left(\frac{V_0}{V}\right)^{\frac{2}{3}} - 1 \right] \right\}, \quad (12)$$

其中  $K_0$ ,  $K'_0$ , 和  $V_0$  分别为体弹模量、体弹模量一阶导数和常压时的体积。

对于准静水压实验, 通过拟合高压下的的实验数据, 得到铌的体弹模量和其一阶导数分别是 166(2) GPa 和 3.2(2)。本文的结果同早起的结果<sup>[2-10]</sup>比较见表 1。可以看出, 本文的体弹模量和超声波实验<sup>[2,3]</sup>、冲击波测量<sup>[4]</sup>、准静水压实验结果<sup>[5,7-9]</sup>一致。但是略小于 Fukizawa 和 Fukai<sup>[6]</sup>报道的以水为传压介质的准静水压结果和 Koči 等人<sup>[10]</sup>报道的理论计算结果。

表 1 本实验拟合得到的体弹模量及其一阶导数与其他文献结果对比

Tab. 1 A summary of the bulk modulus  $K_0$  of niobium and their pressure derivative  $K'_0$  obtained from various methods

$K_0$ /GPa	$K'_0$	$p_{\max}$ /GPa	Method	PTM	Reference
166(2)	3.2(2)	41	X-ray	Helium	Present work
168.98(13)	4.08(1)	0.5	Ultrasonic	Nitrogen	Katahara <i>et al.</i> <sup>[1]</sup>
170.69			Ultrasonic	Nitrogen	Katahara <i>et al.</i> <sup>[2]</sup>
168.8(3)	3.73(1)	174	Shock		McQueenet <i>et al.</i> <sup>[3]</sup>
171(7)	4.03(fixed)	10	X-ray	ME	Ming and Manghnani <sup>[4]</sup>
175.7(27)	4	60	X-ray	Water	Fukizawa and Fukai <sup>[5]</sup>
168	3.25	60	X-ray	Gold	Akahama <i>et al.</i> <sup>[6]</sup>
161(1)	3.2(1)	50	X-ray	Helium	Singh and Kenichi <sup>[7]</sup>
168(4)	3.4(3)	72	X-ray	Helium	Kenichi and Singh <sup>[8]</sup>
174	3.85	0	GGA	—	Koči <i>et al.</i> <sup>[9]</sup>

注: ME 表示体积比为 4:1 的甲醇乙醇混合液; MEW 表示甲醇、乙醇、水的混合液; GGA 表示广义梯度近似。

### 4.3 差应力 $t$ 的计算

差应力与剪切模量的比值( $t/G$ )随压强的变化见图 5。 $t/G$  由  $d$  值与  $1-3\cos^2\psi$  线性拟合的斜率获得。从图 4 可以看出,  $t/G$  在 6 GPa 后几乎保持不变, 表明铌由于塑性形变开始发生宏观屈服, 此时  $t/G$  的值为 0.028。此外,  $t/G$  在 66 GPa 开始第二次增加, 表明了铌开始出现强化现象。

如果知道高压下的剪切模量, 每个压力点的差应力则可以由公式(7)得出。对于多晶样品, 高压下的剪切模量  $G$  可以由以下公式<sup>[19]</sup>得出:

$$G = G_0 (1 + 2f)^{5/2} \left[ 1 + \left( 3K_0 \frac{dG_0}{dp} / G_0 - 5 \right) f \right] \quad (13)$$

此处  $f = [(V_0/V)^{2/3} - 1]$ ,  $K_0$  和  $G_0$  分别是室压下的体弹模量和剪切模量。根据文献[1]的数据, 利用公式(13)可以求出铌在高压下的剪切模量。

图 6 表示铌的剪切力随压力( $p-t$ )的变化关系图。从 2 到 6 GPa, 剪切力可以拟合为:  $t = -0.557(94) + 0.306(21)p$  (GPa)。可以看到, 在超过 6 GPa 后,  $t$  变化非常缓慢, 说明铌由于塑性形变而达到屈服, 此时的剪切力为 1.26 GPa。超过 30 GPa 后, 差应力开始第二次显著增大, 表明铌发生强化现象。在 70 GPa 时, 铌的差应力达到最大值, 且为 3.96 GPa。此外, 本文的差应力与 Singh 和 Kenichi<sup>[8]</sup>的准静水压结果一致, 但是远小于径向衍射实验结果<sup>[10]</sup>。差异可能源于不同的静水压环境。

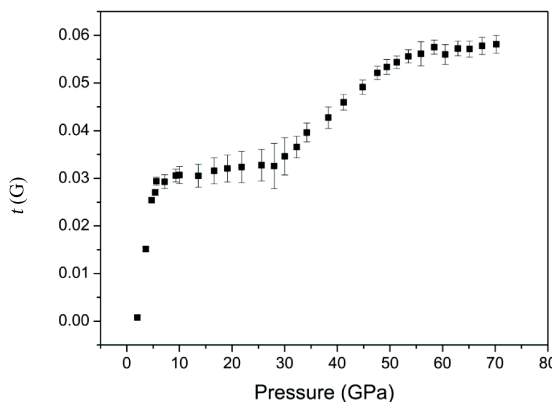
图 5  $t/G$  随压力的变化图

Fig. 5 Ratio of differential stress to shear modulus ( $t/G$ ) as a function of pressure for niobium

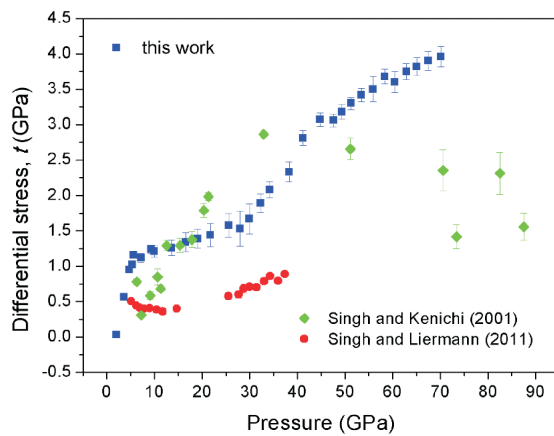


图 6 铌的差应力随压力的变化图

Fig. 6 Differential stress as a function of pressure for niobium

## 5 总 结

室温下, 用 X 射线径向衍射实验加压到 70 GPa, 以氦为传压介质的静水压环境中加压到 41 GPa, 研究了铌在高压下的强度和状态方程。以氦为传压介质的准静水压下 X 射线衍射数据得到的体弹模量和其一阶导数分别是 166(2) GPa 和 3.2 (2)。本文的体弹模量和文献报道的结果一致。此外, 铌的在超过 6GPa 后增加非常缓慢, 表明了此时由于塑性形变而发生屈服。结合高压下的剪切模量, 发现在塑形形变时的差应力是 1.26 GPa。在 30 GPa 时, 铌的差应力再次增大, 表明了铌的强化现象开始出现。此时对应的差应力是 1.67 GPa。在 70 GPa 时, 铌有最大的差应力, 且为 3.96 GPa。

## 参考文献:

[1] 王海燕, 郭凯琪, 王彪, 等. Gap 相变及热力学性

- 质的理论研究 [J]. 原子与分子物理学报, 2017, 34: 1093.
- [2] Katahara K W, Manghnani M H, Fisher E S. Pressure derivatives of the elastic moduli of niobium and tantalum [J]. J Appl Phys, 1976, 47: 434.
- [3] Katahara K W, Manghnani M H, Fisher E S. Elastic moduli of paramagnetic chromium and Ti-V-Cr alloys [J]. J Phys F: Met Phys, 1979, 9: 773.
- [4] McQueen R G, Marsh S P, Taylor J W, et al. The equation of state of solids from shock wave studies [C]//Dienes J, Walsh J. In high-velocity impact phenomena. New York: Academic Press, 1970.
- [5] Ming L, Manghnani M H. Isothermal compression of bcc transition metals to 100 kbar [J]. J Appl Phys, 1978, 49: 208.
- [6] Fukizawa A, Fukai Y. Effects of high pressure on the structure of  $VH_{0.5}$  and  $NbH_{0.75}$  [J]. J Phys Soc Jpn, 1983, 52: 2102.
- [7] Akahama Y, Kobayashi M, Kawamura H. High-pressure X-ray diffraction study on electronic s-d transition in zirconium [J]. J Phys Soc Jpn, 1991, 60: 3211.
- [8] Singh A K, Kenichi T. Measurement and analysis of nonhydrostatic lattice strain component in niobium to 145 GPa under various fluid pressure-transmitting media [J]. J Appl Phys, 2001, 90: 3269.
- [9] Kenichi T, Singh A K. High-pressure equation of state for Nb with a helium-pressure medium: powder X-ray diffraction experiments [J]. Phys Rev B, 2006, 73: 224119.
- [10] Koci L, Ma Y, Oganov A R, et al. Elasticity of the superconducting metals V, Nb, Ta, Mo, and W at high pressure [J]. Phys Rev B, 2008, 77: 214101.
- [11] Singh A K, Liermann H P. Strength and elasticity of niobium under high pressure [J]. J Appl Phys, 2011, 109: 113539.
- [12] Mao H K, Xu J, Bell P M. Calibration of the ruby pressure gauge to 800 kbar under quasi-hydrostatic conditions [J]. J Geophys Res, 1986, 91: 4673.
- [13] Xiong L, Liu J, Bai L G, et al. Radial X-ray diffraction of tungsten tetraboride to 86 GPa under nonhydrostatic compression [J]. J Appl Phys, 2013, 113: 033507.
- [14] Hammersley A P, Svensson S O, Hanfland M, et al. Two-dimensional detector software: from real detector to idealised image or two-theta scan [J]. High Press Res, 1996, 14: 235.
- [15] Singh A K. The lattice strains in a specimen (cubic

- system) compressed nonhydrostatically in an opposed anvil device [J]. J Appl Phys, 1993, 73: 4278.
- [16] Singh A K, Balasingh C. The lattice strains in a specimen (hexagonal system) compressed nonhydrostatically in an opposed anvil high pressure setup [J]. J Appl Phys, 1994, 75: 4956.
- [18] Larson A C, Von Dreele R B. General structure analysis system (GSAS) [R]. Los Alamos: Los Alamos National Laboratory, 2004.
- [19] Birch F. Equation of state and thermodynamic parameters of NaCl to 300 kbar in the high-temperature domain [J]. J Geophys Res, 1978, 83: 1257.
- [20] Singh A K, Jain A, Liermann H P, et al. Strength of iron under pressure up to 55 GPa from X-ray diffraction line-width analysis [J]. J Phys Chem Solids, 2006, 67: 2197.

引用本文格式:

中 文: 熊伦, 李斌, 刘景. 高压下铌的强度和状态方程研究[J]. 四川大学学报: 自然科学版, 2018, 55: 1007.  
英 文: Xiong L, Li B, Liu J. Investigation of strength and equation of state in niobium at high pressure [J]. J Sichuan Univ: Nat Sci Ed, 2018, 55: 1007.